

基于MSB二维标记的加密图像可逆数据隐藏

杨尧林¹, 和红杰¹, 陈帆², 郭扬扬¹

(1. 信号与信息处理四川省高校重点实验室, 四川成都 611756; 2. 西南交通大学计算机与人工智能学院, 四川成都 611756)

摘要: 针对基于标记编码的加密图像可逆数据隐藏存在图像冗余未充分利用和信息泄露问题, 提出一种基于MSB(Most Significant Bit)二维标记的加密图像可逆数据隐藏(Reversible Data Hiding in Encrypted Image, RDH-EI)算法. 为提高算法的嵌入容量, 在二维标记图生成阶段, 根据原始与预测像素值构造出差异序列, 生成MSB二维标记 (l_1, l_2) . 第一维 l_1 和第二维 l_2 分别记录原始与预测像素值初始连续相同MSBs位数和后继连续相反MSBs(Subsequent Consecutive Opposite MSBs, SCO-MSBs)位数. SCO-MSBs的使用提高像素冗余的利用率, 结合范式哈夫曼编码实现嵌入容量的提升. 为提高算法的安全性, 在伪标记图与加密图像构造阶段, 将二维标记图生成的编码流与保存所有辅助信息的额外数据流进行有效信息合并生成原始流后加密, 同时在构造加密图像过程中生成用于标识可嵌入位置的伪标记图. 原始流加密能有效防止图像信息泄露, 伪标记图则用于确定嵌入的预留空间位置. 实验结果表明, 与现有同类算法相比, 本文算法能防止标记图泄露并抵抗唯密文攻击, 嵌入容量提高0.208 bpp以上, 且算法实现完全可逆的同时, 运行时间将近现有算法的1/4.

关键词: 可逆数据隐藏; 图像加密; 二维标记; 有效信息合并; 伪标记图

基金项目: 国家自然科学基金(No.U1936113, No.61872303)

中图分类号: TN957.52

文献标识码: A

文章编号: 0372-2112(2023)04-0993-13

电子学报 URL: <http://www.ejournal.org.cn>

DOI: 10.12263/DZXB.20210571

Reversible Data Hiding in Encryption Images Based on MSB Two-Dimensional Label

YANG Yao-lin¹, HE Hong-jie¹, CHEN Fan², GUO Yang-yang¹

(1. Sichuan Province Key Laboratory of Signal & Information Processing, Chengdu, Sichuan 611756, China;

2. School of Computing and Artificial Intelligence, Southwest Jiaotong University, Chengdu, Sichuan 611756, China)

Abstract: For the problems of insufficient utilization of image redundancy and information leakage in reversible data hiding in encryption images based on label coding, a reversible data hiding in encrypted images (RDH-EI) based on MSB (Most Significant Bit) two-dimensional label is proposed. In order to improve the embedding capacity of the algorithm, in the two-dimensional label map generation stage, the difference sequence is constructed according to the original and predicted pixel values, and the MSB two-dimensional label (l_1, l_2) is generated. The first dimension l_1 and the second dimension l_2 respectively record the original and predicted pixel values with the same initial consecutive same MSBs and subsequent consecutive opposite MSBs (SCO-MSBs). The use of SCO-MSBs improves the utilization of pixel redundancy, combined with canonical Huffman coding to achieve higher embedding capacity. In order to improve the security of the algorithm, in the construction stage of the pseudo-label map and the encrypted image, the encoded stream generated by the two-dimensional label map and the extra data stream storing all auxiliary information are used to generate the original stream through effective information merging and then encrypted, and in the process of constructing the encrypted image, a pseudo-label map for identifying the embedding position is generated. The original stream encryption can effectively prevent the leakage of image information, and the pseudo-label map is used to determine the position of the embedded reserved room. The experimental results show that compared with the existing similar algorithms, the proposed algorithm can effectively prevent the leakage of the label map and resist the ciphertext-only attacks, the embedding capacity is increased by more than 0.208 bpp, and the algorithm achieves completely reversible while running time is nearly 1/4 of the existing algorithm.

Key words: reversible data hiding; image encryption; two-dimensional label; effective information merging; pseudo label map

Foundation Item(s): National Natural Science Foundation of China (No.U1936113, No.61872303)

1 引言

随着云存储的发展,更多用户将图像等多媒体文件上传至云中存储.近年来,云端用户隐私信息和图像等数据泄露事件使得数据安全及隐私保护成为用户关注的热点.加密图像可逆数据隐藏(Reversible Data Hiding in Encrypted Image, RDH-EI)可为云存储的场景提供有效解决方案^[1].图像加密将原始图像转化为随机噪声,避免图像内容的泄露.利用可逆数据隐藏技术能在不扩展图像尺寸基础上在图像中嵌入用户信息等用于隐私数据或管理等标签,且能无损地提取出来用于识别.目前,该技术已应用于医学图像管理、法律取证、军事应用等方面^[2-6].

现有 RDH-EI 算法中,根据嵌入方法的不同可大致分为三类:第一类为基于直方图移位的 RDH-EI^[7,8],通过统计像素值或误差值的分布,在峰值点中嵌入秘密数据;第二类是基于差异扩展的 RDH-EI^[9,10],通过修改相邻像素的差值来嵌入秘密数据;第三类为基于无损压缩的 RDH-EI^[11,12],将原始图像的冗余进行压缩来腾出空间用于嵌入秘密数据.其中,基于无损压缩的 RDH-EI 具有较大的嵌入容量,被更多学者研究.

现有基于无损压缩 RDH-EI 算法,以嵌入容量的提高作为主要研究方向.Yi 等人^[13]提出自适应位级数据嵌入(Adaptive Bit-level Data Embedding, ABDE)方法,根据预测误差将像素分为可嵌入像素与不可嵌入像素 2 类,可嵌入像素又根据 2 种嵌入编码策略分为 3 类或 4 类,分别用 2 位或 3 位进行标记,并选取嵌入率较高的策略进行标记压缩.但该算法在可逆恢复时仅将预测误差在 $[-1, 1]$ 或 $[-2, 1]$ 范围内像素作为可嵌入像素,限制了容量的提高.在此基础上,Yi 等人^[14]提出参数二叉树标记(Parametric Binary Tree Labeling, PBTL)方法,在可嵌入像素个数与编码长度间做出权衡,使嵌入容量具有显著提升.该算法与文献^[13]存在相同的问题,仅使用了局部像素的相关性.随后,Wu 等人^[15]提出了改进的参数二叉树标记算法,利用原始图像整体的相关性,在减少参考像素个数的同时提高预测精度,使预测误差分布更加集中,从而获得更高的嵌入容量.上述 3 种算法中,都采用了将不均匀的预测误差用等长编码标记的策略,该策略会造成空间浪费.为进一步提高冗余空间利用率,学者们提出采用变长编码标记的方法.Yi 等人^[16]提出二值块嵌入(Binary-Block Embedding, BBE)算法,将灰度图像的 8 个位面看作二进制图像,对每个位面分块,对各块分类后采用变长编码进行标记.但该算法忽略了自然图像各位面之间的相关性.Chen

等人^[17]在 BBE 的基础上进行改进,通过迭代预测与相邻位平面异或结合的方式来增加全 0 块的个数,从而更适用于改进的 BBE 算法来减少编码长度.此外,哈夫曼编码作为性能较优的变长编码方式,可用在 RDH-EI 中来实现更高的压缩性能.Fu 等人^[18]提出自适应编码算法中,将图像分块后,统计各块 MSBs (Most Significant Bits) 类别数并采用对应的哈夫曼编码实现压缩.但该算法与文献^[14]存在相同问题,未利用图像的全局相关性.2020 年,Yin 等人^[19]采用全局预测算法,对比原始与预测像素值的 MSBs 相同位并转化为标记.在预留空间过程中,根据标记值反映原始与预测像素值 MSBs 相同的位数及随后位必定相反的特性,将原始与预测像素值相同的 MSBs 预留用于数据嵌入,剩余 LSBs 则作为未标记位保持不变.该算法相较于文献^[17],以 BOSSBase 图像库为例的嵌入容量平均值提高 0.156 bpp.通过研究发现,Yin 算法中像素的未标记位依旧存在冗余,如果能利用这些冗余,将进一步提高嵌入容量.

在兼顾嵌入容量的同时,安全性也是 RDH-EI 不可忽视的一个方面.文献^[15, 16, 19]采用异或加密生成加密图像,尽管加密图像类似随机噪声,但未改变像素空间位置.根据位置未改变的特点,结合原始图像像素间的相关性,Khelifi^[20]提出一种针对异或加密的唯密文攻击,攻击者在得到多幅加密图像的条件下,能以较高的概率估计出多个 MSB 平面的异或加密矩阵,从而得到加密图像的原始内容,因此采用异或加密存在安全隐患.此外,文献^[15, 19]为使管理者确定位置嵌入秘密数据,标记图无法通过加密密钥进行加密,从而未持有加密密钥的未授权者也能从加密图像中无损地恢复标记图.分析发现,标记图中包含原始图像的纹理信息,会造成原始图像内容的泄露.因此在不影响数据嵌入的情况下,对标记图加密来防止信息泄露且提高加密算法的安全性成为研究的关键问题.

综上,在基于无损压缩 RDH-EI 中,文献^[19]在嵌入容量上相较于现有文献具有较高优势.算法中加密图像生成过程中分为 4 部分:①标记图生成,通过对比原始及预测像素值初始连续相同 MSBs 位数生成标记图;②哈夫曼编码,将标记图进行哈夫曼编码生成编码流;③图像加密,对原始图像加密生成中间加密图像;④标记图嵌入,将编码流及包含编码表和编码流长度的额外数据流嵌入中间加密图像中生成加密图像.该算法中存在两个问题:一是在生成标记过程中,仅记录原始与预测像素值相同 MSBs 位数,但原始像素值未标

记位中与预测像素值存在多数位相反的特性,因此未标记位中仍存在冗余未用于腾出空间;二是在无加密密钥情况下,标记图能够通过加密图像直接恢复,将导致图像内容泄露,且加密阶段仅采用异或加密,无法有效抵抗唯密文攻击. 为进一步提高嵌入容量和安全性,本文算法提出一种基于 MSB 二维标记的加密图像可逆数据隐藏算法. 主要贡献有以下 2 个方面:

(1) 提出二维标记的方法. 利用像素未标记位中存在的冗余,使得更多的 MSBs 用于腾出空间,来提高嵌入容量.

(2) 提出有效信息合并和伪标记图构造策略. 在伪标记图与加密图像构造阶段,将与原始图像有关的编码流与额外数据进行有效信息合并得到的原始流进行加密提高标记图的安全性,同时伪标记图的构造在不泄露原始图像内容的情况下标明预留空间位置,且有效地降低算法的时间复杂度.

2 MSB 二维标记策略

基于文献[19]提出的标记策略,研究发现其中未标记位存在冗余未利用的问题. 通过进一步使用像素冗余,提出了 MSB 二维标记策略. 下面通过分析文献[19]存在的问题,引申出本文标记策略过程,并根据示例说明 MSB 二维标记策略腾出空间的提高,具体过程描述如下.

文献[19]生成标记的过程中,先将原始像素值 o 与预测像素值 p 分别转化为二进制序列 $o^k (k=1, 2, \dots, 8)$ 和 p^k , 随后从 MSB 到 LSB (Least Significant Bit) 比较 o^k 和 p^k , 得到相同的位数并作为标记. 如图 1 所示, 当原始像素值与预测像素值分别为 156 和 144 时, 从 MSB 到 LSB 比较后可得有 4 位相同, 故标记为 4. 此时, 该像素能够嵌入 5 位, 因为在恢复过程中, 由标记可知原始像素值与预测像素值前 4 位 MSBs 相同, 第 5 位相反.

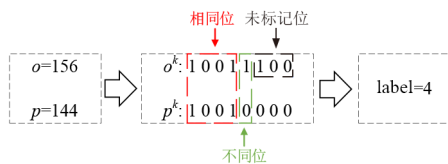


图 1 文献[19]标记生成示意图

分析可知,上述算法恢复原始像素的实质:标记代表预测像素值与原始像素值从 MSB 到 LSB 各比特相同或相反的关系,结合预测像素值的可恢复性,得到原始像素值. 观察图 1 可以看出,除前 4 位 MSBs 相同外,第 5,6 位均相反,说明该像素中依旧存在冗余未被利用. 基于此,提出 MSB 二维标记策略,生成标记的过程如下.

Step1 差异序列的构造. 将原始像素值 o 与预测像素值 p 转化为二进制序列, 分别定义为 $o^k (k=$

$1, 2, \dots, 8)$ 和 p^k , 转化式如下:

$$x^k = \left\lfloor \frac{x}{2^{k-1}} \right\rfloor \bmod 2, \quad k=1, 2, \dots, 8 \quad (1)$$

再由式(2)构造出 o^k 和 p^k 的差异序列 d^k 为

$$d^k = o^k \oplus p^k \quad (2)$$

其中, \oplus 为异或操作. 因此当 $d^k=0$ 时, 说明 o^k 和 p^k 相同; 反之, 说明 o^k 与 p^k 相反.

Step2 二维标记的生成. 首先, 定义二维标记 (l_1, l_2) , 其中 l_1 表示首“0”串长度, l_2 表示次“1”串长度. 为计算 l_1 与 l_2 , 从 MSB 到 LSB 观察差异序列 d^k , 先统计连续“0”的个数, 记为 l_1 , 再统计随后连续“1”的个数, 记为 l_2 , 此时有 $l_1, l_2 \in \{0, 1, 2, \dots, 8\}, l_1 + l_2 \leq 8$. 且统计首“0”串长度 l_1 的式如(3)所示:

$$l_1 = \sum_{k=1}^8 m^k \quad (3)$$

其中,

$$m^k = \begin{cases} 1-d^k, & k=8 \\ (1-d^k) \times m^{k+1}, & 1 \leq k \leq 7 \end{cases} \quad (4)$$

统计次“1”串长度 l_2 则如式(5)所示:

$$l_2 = \sum_{k=1}^{8-l_1} n^k \quad (5)$$

其中,

$$n^k = \begin{cases} d^k, & k=8-l_1 \\ d^k \times n^{k+1}, & 1 \leq k \leq 7-l_1 \end{cases} \quad (6)$$

在恢复阶段,通过二维标记中首“0”串长度可确定原始像素值 o 与预测像素值 p 存在 l_1 位初始连续相同 MSBs, 次“1”串长度确定 l_2 位后继连续相反 MSBs (Subsequent Consecutive Opposite MSBs, SCO-MSBs), 且第 $l_1 + l_2 + 1$ 位相同. 因此采用二维标记时, 该像素能够腾出 $l_1 + l_2 + 1$ 位空间用于嵌入. 同样以 $o=156, p=144$ 为例, 二维标记生成示意图如图 2 所示. 由原始像素值与预测像素值生成的差异序列为 $d^k: 00001100$, 首“0”串长度 $l_1=4$, 次“1”串长度 $l_2=2$, 故采用二维标记时, 该像素能够腾出 7 位用于嵌入, 相较于文献[19]提高 2 位.

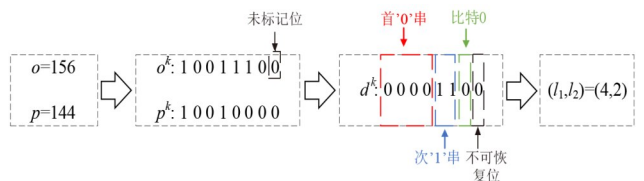


图 2 二维标记生成示意图

3 基于 MSB 二维标记编码的 RDH-EI

本文算法主要包括 3 部分:

(1) 加密图像的生成. 图像所有者持有加密密钥

K_e , 将原始图像 O 进行预处理和加密生成加密图像 E .

(2) 数据嵌入与提取. 持有数据隐藏密钥 K_m 的管理者在原始图像内容未知的情况下, 将秘密数据 D 加密后嵌入加密图像中生成含嵌图像 M , 且能在含嵌图像 M 中无损提取秘密数据 D .

(3) 图像恢复. 持有加密密钥 K_e 的授权者可通过含嵌图像 M 得到与原始图像 O 一致的恢复图像 R , 完全实现图像可逆恢复. 下面对每部分进行详细描述.

3.1 加密图像的生成

加密图像的生成主要由 4 个阶段组成:

(1) 二维标记图的生成. 图像拥有者将原始图像 O 进行预测得到预测图像 P , 根据 MSB 二维标记策略确定二维标记图 L .

(2) 范式哈夫曼编码. 根据二维标记图的统计特征生成范式哈夫曼编码表后, 对二维标记图编码得到编码流 ξ .

(3) 原始流的生成. 将恢复时需要的额外数据流 φ 生成后, 与编码流 ξ 组成原始流 S .

(4) 伪标记图与加密图像构造. 对原始流 S 加密后生成加密流 S' , 结合预留空间 τ 生成中间加密图像 \bar{E} , 确定为标记图后, 将伪标记图信息 m 嵌入 \bar{E} 中生成加密图像 E .

3.1.1 二维标记图的生成

原始图像生成预测图像后, 采用 MSB 二维标记策

$$\bar{p}(i,j) = \begin{cases} \max(o(i-1,j), o(i,j-1)), & o(i-1,j-1) \leq \min(o(i-1,j), o(i,j-1)) \\ \min(o(i-1,j), o(i,j-1)), & o(i-1,j-1) \geq \max(o(i-1,j), o(i,j-1)) \\ o(i-1,j) + o(i,j-1) - o(i-1,j-1), & \text{其他} \end{cases}$$

Step2 二维标记图的生成. 根据 MSB 二维标记策略, 由原始像素值 $o(i,j)$ 与预测像素值 $p(i,j)$ 初始连续相同 MSBs 位数和 SCO-MSBs 位数生成对应的首“0”串长度 $l_1(i,j)$ 与次“1”串长度 $l_2(i,j)$, 组成二维标记 $(l_1(i,j), l_2(i,j))$. 最终构造出二维标记图 L .

3.1.2 范式霍夫曼编码

在得到二维标记图后, 需要转化为二进制序列作为加密图像的一部分, 转化过程则通过范式哈夫曼编码实现. 在编码过程中统计出二维标记图中各标记的概率后, 构成范式哈夫曼编码表. 最后, 通过编码表将二维标记图转化为编码流.

Step1 概率统计. 在二维标记中有 $0 \leq l_1, l_2 \leq 8$, $l_1 + l_2 \leq 8$, 当且仅当 $l_1 = 8$ 时, $l_2 = 0$, 其余情况下“1”串长度至少为 1, 即 $l_2 \geq 1$, 所以二维标记的总类别数为 $\sum_{i=0}^7 \sum_{j=1}^{8-i} 1 = 37$. 假设所有的二维标记定义为 $\bar{L}_k, k = 1, 2, \dots, 37$, 在二维标记图中出现的概率为 f_k , 则各二维标记的概率计算式为

略生成所有像素的二维标记, 构成二维标记图. 由 MSB 二维标记策略可知, 当预测方法越准确, 腾出的嵌入空间越大, 嵌入容量越高. 兼顾嵌入容量和时间复杂度, 常用的预测方法主要有中值边缘检测 (Median Edge Detector, MED) 预测、梯度调整预测 (Gradient Adjusted Predictor, GAP) 及菱形预测^[21]. 其中, GAP 预测精度高于 MED 预测, 但 GAP 的复杂度也高于 MED 预测^[22]. 菱形预测精度高于 MED 与 GAP, 但保留的参考像素较多^[21]. 为便于对比文献[19]的标记性能, 本文采用与文献[19]相同的 MED 预测方法.

Step1 图像预测. 设原始图像 O 的大小为 $W \times H$, $o(i,j), 1 \leq i \leq W, 1 \leq j \leq H$ 为原始图像中第 i 行第 j 列的像素值. 在预测算法中, 除 $o(1,1)$ 作为参考像素 o_{ref} 外, 首行首列的其余像素使用线性预测方法, 通过左侧或上侧的像素得到预测值. 除首行首列的其余像素则采用 MED 预测算法. 因此预测图像 P 中预测像素值 $p(i,j)$ 的计算式为

$$p(i,j) = \begin{cases} o(i,j), & i = 1 \text{ and } j = 1 \\ o(i,j-1), & i = 1 \text{ and } 1 < j \leq H \\ o(i,j-1), & 1 < i \leq W \text{ and } j = 1 \\ \bar{p}(i,j), & 2 \leq i \leq W \text{ and } 2 \leq j \leq H \end{cases} \quad (7)$$

其中, $\bar{p}(i,j)$ 表示通过 MED 预测算法得到的预测像素值, 如式(8)所示. 通过式(7)与式(8)计算后可得预测图像 P .

$$\begin{aligned} o(i-1,j-1) &\leq \min(o(i-1,j), o(i,j-1)) \\ o(i-1,j-1) &\geq \max(o(i-1,j), o(i,j-1)) \\ &\text{其他} \end{aligned} \quad (8)$$

$$f_k = \frac{\sum_{i=1}^W \sum_{j=1}^H \text{isequal}((l_1(i,j), l_2(i,j)), \bar{L}_k)}{W \times H} \quad (9)$$

其中, $\text{isequal}(a,b)$ 表示当 a 与 b 完全相同时为 1, 反之则为 0.

Step2 范式哈夫曼编码表的构造. 根据范式哈夫曼编码算法生成哈夫曼编码表 T , 其中包括两部分, 二维标记 $\bar{L}_k, k = 1, 2, \dots, 37$ 以及对应的编码 C_k , 在编码表中以编码长度为最高关键字, 二维标记为次关键字进行排序.

Step3 编码流的生成. 按照从上到下, 从左到右的顺序扫描二维标记图, 如式(10)所示, 按照范式哈夫曼编码表依次将各二维标记 $(l_1(i,j), l_2(i,j))$ 转化为编码 ξ_x .

$$\xi_x = C_k, \text{ if } \text{isequal}((l_1(i,j), l_2(i,j)), \bar{L}_k) \quad (10)$$

其中, $x = 1, 2, \dots, W \times H$ 且 $x = (j-1) \times W + i$.

将编码 $\xi_1, \xi_2, \dots, \xi_{W \times H}$ 连接, 组成编码流 ξ , 其长度 l_ξ 为

$$l_{\xi} = \sum_{k=1}^{37} f_k \times (W \times H) \times l_k \quad (11)$$

其中, l_k 表示编码 C_k 的长度.

3.1.3 原始流的生成

为可逆地恢复原始图像,除生成的编码流 ξ 外,还需要将原始图像中的参考像素 o_{ref} ,无法通过二维标记恢复的未标记位 B_o 、范式哈夫曼编码表 T 以及编码流的长度 l_{ξ} 转化为比特流进行存储. 将上述生成的比特流定义为额外数据流 φ , 结合编码流 ξ 组成可恢复原始图像的原始流 S .

Step1 额外数据流的构造. 将参考像素 o_{ref} , 未标记位长度 l_B , 未标记位 B_o , 范式哈夫曼编码表 T 及编码流长度 l_{ξ} 转化的比特流合并构造为额外数据流 φ . 转化过程如下: 参考像素 o_{ref} 仅有一个像素, 用 8 位存储. 未标记位 B_o 为所有原始像素值中无法通过二维标记恢复的 LSBs, 其长度 l_B 为

$$l_B = \sum_{i=1}^W \sum_{j=1}^H l_b(i, j) \quad (12)$$

其中, $l_b(i, j)$ 表示像素值 $o(i, j)$ 中无法恢复的原始 LSBs 长度, 即

$$l_b(i, j) = \begin{cases} 0, & l_1(i, j) + l_2(i, j) + 1 \geq 8 \\ 7 - l_1(i, j) - l_2(i, j), & \text{其他} \end{cases} \quad (13)$$

在转化范式哈夫曼编码表 T 时, 由于编码长度从小到大有序, 因此只需记录二维标记以及每种长度编码的个数即可. 其中, 二维标记共有 37 类, 用 $\lceil \log_2 37 \rceil = 6$ 位表示; 每种长度编码的个数先统计出编码长度最大值 l_{max} , 用 6 位记录后, 再统计出长度为 $1 \sim l_{\text{max}}$ 包含的编码个数并转化为 $(\log_2 37) = 6$ 位的二进制序列. 因此存储编码表需要的长度 l_T 为

$$l_T = 37 \times 6 + 6 + l_{\text{max}} \times 6 \quad (14)$$

此外, 未标记位的长度 l_B 和编码流的长度 l_{ξ} 分别用 $\lceil \log_2 (W \times H \times 8) \rceil$ 位记录. 最终可得构成的额外数据流的长度 l_{φ} 为

$$l_{\varphi} = 8 + l_B + l_T + 2 \times \lceil \log_2 (W \times H \times 8) \rceil \quad (15)$$

Step 2 有效信息合并. 额外数据流 φ 与编码流 ξ 作为恢复原始图像的有效信息, 按照额外数据流在前, 编码流在后的顺序, 将两者采用位连接的方法合并为原始流 S .

3.1.4 伪标记图与加密图像构造

在构造加密图像过程中, 主要实现 3 个目的: ① 为避免标记图泄露, 对原始流进行加密; ② 为保证加密图像与原始图像尺寸一致, 预留空间 τ 需满足一定长度; ③ 为标识嵌入位置, 构造伪标记图并嵌入加密图像中. 实现步骤如下.

Step1 原始流加密. 根据加密密钥 K_e 生成与原始

流相同长度的伪随机比特流 R_1 和伪随机置乱序列 R_2 后, 通过 R_1 对原始流异或加密后再通过 R_2 进行置乱加密, 生成加密流 S' .

Step2 预留空间长度的确定. 根据已知的额外数据流长度 l_{φ} 和编码流长度 l_{ξ} , 确定预留空间 τ 的长度 l_{τ} 为

$$l_{\tau} = W \times H \times 8 - l_{\varphi} - l_{\xi} - \lceil \log_2 (W \times H \times 8) \rceil \quad (16)$$

其中, $\lceil \log_2 (W \times H \times 8) \rceil$ 位用于记录伪标记图信息 m . 预留空间 τ 则通过随机序列填充.

Step3 伪标记图的生成. 将加密流 S' , 预留空间 τ 及 $\lceil \log_2 (W \times H \times 8) \rceil$ 位连接生成加密图像流 S_e . 再将 S_e 分为大小为 $W \times H$ 的 8 个位平面 $\bar{E}_i, i = 1, 2, \dots, 8$, 按照式 (17) 将位平面结合为中间加密图像 \bar{E} , 即

$$\bar{E} = \sum_{i=1}^8 \bar{E}_i \times 2^{i-1} \quad (17)$$

统计预留空间在加密图像中的起始位置 $(x, y), 1 \leq x \leq W, 1 \leq y \leq H$ 以及占有的完整位平面个数 n . 随后以 (x, y) 为分界点, 生成前面全为 n , 后面全为 $n+1$, 大小为 $W \times H$ 的伪标记图 L' .

Step4 加密图像的生成. 将伪标记图的重要信息: 分界点 (x, y) 与 n 分别转化为 $\lceil \log_2 W \rceil + \lceil \log_2 H \rceil$ 位和 $\lceil \log_2 8 \rceil = 3$ 位作为伪标记图信息存储至中间加密图像 \bar{E} 的 LSB 最后 $\lceil \log_2 (W \times H \times 8) \rceil$ 位中, 生成加密图像 E .

为更好地介绍伪标记图与加密图像的构造过程, 以图 3 为例进行说明. 原始流加密生成加密流后, 与预留空间和 $\lceil \log_2 (W \times H \times 8) \rceil$ 位连接后生成中间加密图像. 该图像共分为 8 个位平面, 最外侧为 MSB, 最内侧为 LSB. 8 个位平面中的内容依次说明如下: 前 4 个 MSBs 中均为加密流; 第 5 个位平面中包含加密流与预留空间 2 部分, 且以坐标 (x, y) 作为分界点; 最后 3 个位平面中除最后 $\lceil \log_2 (W \times H \times 8) \rceil$ 位外均为预留空间. 此时, 该图像在 (x, y) 前可在 3LSBs 嵌入, 在 (x, y) 后可在 4LSBs 嵌入. 为在数据嵌入阶段嵌入秘密数据, 需告知管理者可嵌入位置, 因此构造以 (x, y) 为分界点, 前面全为 3, 后边全为 4 的伪标记图. 随后将分界点 (x, y) 与 $n = 3$ 两部分伪标记图信息嵌入至中间加密图像最后 $\lceil \log_2 (W \times H \times 8) \rceil$ 位生成加密图像. 在数据嵌入阶段中, 管理者根据 LSB 中存储的伪标记图信息重构伪标记图, 确定预留空间位置.

3.2 数据嵌入与提取

持有信息隐藏密钥 K_m 的管理者, 可在加密图像 E 中嵌入秘密数据 D , 以实现对其管理. 数据嵌入过程中, 将秘密数据 D 加密后嵌入到预留空间 τ 中生

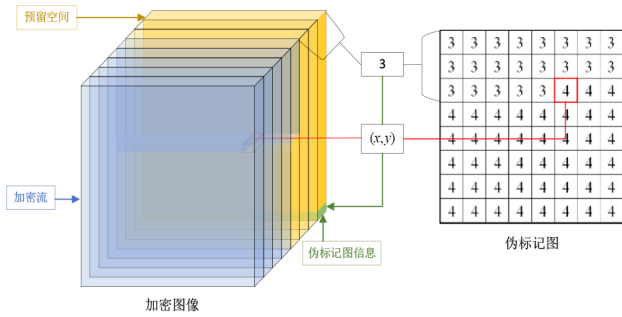


图3 标记图与加密图像的构造过程示例

成含嵌图像 M 。数据提取则是数据嵌入的逆过程。为保证秘密数据的安全性,秘密数据在嵌入前先要加密再嵌入。为适用于不同应用,秘密数据 D 可以是比特流或图像形式,需提供不同的加密方式。当秘密数据 D 为比特流时,可选择复杂度较低的异或加密,也可选择安全性较高的 DES^[23] 和 AES^[24] 等加密方法;当秘密数据 D 为图像时,可选择现有的安全性高的图像加密方法。例如,混合混沌加密^[25]、双加密结合方案^[26,27]等。

Step1 数据嵌入。通过加密图像 E 中 LSB 的最后 $\lceil \log_2(W \times H \times 8) \rceil$ 位得到伪标记图信息,进而恢复以 (x, y) 为分界点,前面为 n ,后面为 $n+1$ 的伪标记图 L' 。随后,根据 L' 采用位替换的将加密的秘密数据 D' 依次嵌入至 E 的 n LSBs 或 $(n+1)$ LSBs 中生成含嵌图像 M 。

Step2 数据提取。与数据嵌入步骤类似,通过含嵌图像 M 中 LSB 的最后 $\lceil \log_2(W \times H \times 8) \rceil$ 位恢复伪标记图 L' ,随后从 M 中 n LSBs 或 $(n+1)$ LSBs 提取加密的秘密数据 D' ,用信息隐藏密钥 K_m 对 D' 解密恢复原始的秘密数据 D 。

3.3 图像恢复

在持有加密密钥 K_c 的接收者得到含嵌图像 M 后,可恢复出与原始图像 O 完全相同的恢复图像 R 。在恢复过程中,先从含嵌图像 M 中得到加密流 S' ,解密后得到的原始流 S 。通过 S 包含的范式哈夫曼编码表 T 和编码流 ζ 恢复出二维标记图 L 后,结合参考像素 o_{ref} 和未标记位 B_0 生成恢复图像 R 。

Step1 原始流的恢复。通过含嵌图像 M 恢复伪标记图 L' 后,根据 L' 中标记确定预留空间长度 l_r 。将含嵌图像展开为八个位平面并排列为比特流的形式,此时前 $W \times H \times 8 - l_r - \lceil \log_2(W \times H \times 8) \rceil$ 位即为加密流 S' ,根据加密密钥 K_c 依次进行置乱解密和异或解密后恢复原始流 S 。

Step2 二维标记图的恢复。根据原始流 S 恢复额外数据流 φ 与编码流 ζ ,额外数据流 φ 中包括参考像素 o_{ref} ,未标记位 B_0 ,范式哈夫曼编码表 T 及编码流长度 l_c 。结合范式哈夫曼编码表与编码流恢复二维标记图 L 。

Step3 恢复图像的生成。定义 $r(i, j)$, $1 \leq i \leq W, 1 \leq j \leq H$ 为恢复图像 R 中第 i 行第 j 列的像素值。首先将参考像素 o_{ref} 作为 $r(1, 1)$,对其余像素,采用与式(1)相同的预测算法,得到预测像素值 $p(i, j)$ 后,对应位置恢复像素值 $r(i, j)$ 可根据二维标记 $(l_1(i, j), l_2(i, j))$ 与未标记位 B_0 得出。预测像素值 $p(i, j)$ 与恢复像素值 $r(i, j)$ 从 MSBs 到 LSBs 有 $l_1(i, j)$ 位初始连续相同 MSBs 及 $l_2(i, j)$ 位 SCO-MSBs,且第 $l_1(i, j) + l_2(i, j) + 1$ 位 MSB 相同。恢复像素值 $r(i, j)$ 剩余 $7 - l_1(i, j) - l_2(i, j)$ 位 LSBs 通过未标记位 B_0 进行恢复。将所有的像素值恢复后,得到恢复图像 R 。图像恢复为加密图像的生成的逆过程,恢复图像 R 与原始图像 O 完全相同,算法实现完全可逆。

4 实验结果与分析

在本节中,设计相关实验来验证算法的性能,实验主要包括 5 部分:①二维标记性能分析;②嵌入容量;③安全性分析;④可逆性分析;⑤时间复杂度分析。实验选取如图 4 所示的八幅测试图像,分别为 Lena, Jetplane, Barbara, Peppers, Boat, Lake, Crowd 和 Baboon。同时使用包含了 1 338 幅图像的 UCID^[28] 与包含了 10 000 幅图像的 BOSSbase^[29] 和 BOWS2^[30] 的 3 个图像库进行实验。其中,UCID 图像库全部变为 512×512 大小的图像。

4.1 二维标记性能分析

本算法在腾出空间阶段采用二维标记策略,结合范式哈夫曼编码来进一步提高文献[19]的嵌入容量。在本文和文献[19]中,与嵌入容量 EC 相关的参数主要包括总容量 TC,编码流长度 l_c ,额外数据流长度 l_φ 。下面从这 3 个方面对比分析。

图像的总容量为各类标记总容量之和,在文献[19]中,标记值表示原始像素值与预测像素值相同的 MSBs 位数,与本文中二维标记的 l_1 是一致的,因此各标记的总容量为

$$\overline{\text{TC}}(l_1) = \begin{cases} 8, & l_1 \geq 8 \\ l_1 + 1, & \text{其他} \end{cases} \quad (18)$$

而本文算中各标记的总容量为

$$\overline{\overline{\text{TC}}}(l_1) = \begin{cases} 8, & l_1 + l_2 \geq 8 \\ l_1 + l_2 + 1, & \text{其他} \end{cases} \quad (19)$$

则本文算法中除首行首列像素外,各标记的总容量增长量为

$$\Delta \text{TC}(l_1, l_2) = \overline{\overline{\text{TC}}}(l_1, l_2) - \overline{\text{TC}}(l_1) \quad (20)$$

文献[19]中,首行首列的像素作为参考像素,无法嵌入信息。本文算法将第一个像素作为参考像素且保存在额外数据流中,首行首列像素同样采用二维标记腾出空间,从而进一步提高总容量。

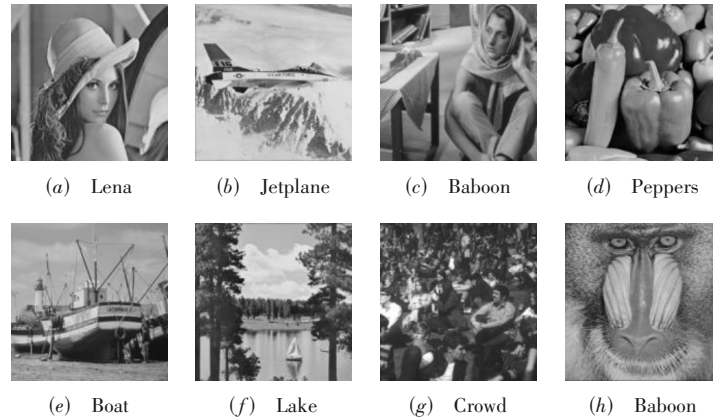


图 4 测试图像

与文献[19]中的标记方法相比,二维标记策略中标记的总类别数有所提高,最多为37类,因此在编码流长度与额外数据流长度方面发生增长.由于编码长度与各标记出现的频率有关,此处将除首行首列外,各类标记出现的次数定义为 $n(l_1, l_2)$.本文中通过范式哈夫曼编码对二维标记图编码生成编码流,因此均匀分布时,该编码方法效率最差.假设当 l_1 相同时的类别数量全部相同,即平均数量 $n'(l_1)$ 为

$$n'(l_1) = \left\lfloor \frac{\sum_{l_2=1}^{8-l_1} n(l_1, l_2)}{8-l_1} \right\rfloor \quad (21)$$

则此时 l_1 对应的各标记对应的编码长度平均值 $\overline{l'_\xi}(l_1)$ 近似为

$$\overline{l'_\xi}(l_1) \approx \left\lceil \log_2 \frac{(W-1) \times (H-1)}{n'(l_1)} \right\rceil \quad (22)$$

故除首行首列外,各标记的编码长度增长量近似为

$$\Delta l'_\xi \approx \overline{l'_\xi}(l_1) - \overline{l_\xi}(l_1) \quad (23)$$

其中, $\overline{l_\xi}(l_1)$ 表示文献[19]中标记 l_1 对应的编码长度.

在额外数据流方面,为与文献[19]进行对比,需除去未标记位 B_0 .此时假设 l_{\max} 达到最大值,即 $l_{\max} = 36$ 时,额外数据流长度为494位,相较于文献[19]中的52位,提高了442位,对图像嵌入容量的影响较小,因此在针对具体图像的分析过程中,主要从总容量和编码流长度上说明二维标记策略引起的嵌入容量增长量.此时各标记的嵌入容量增长量约为

$$\Delta EC'(l_1, l_2) \approx \Delta TC(l_1, l_2) - \Delta l'_\xi(l_1) \quad (24)$$

当标记总容量的增长量大于编码长度的增长量,则嵌入容量呈现正增长;反之为负增长.

下面以Lena图像为例进行实验,测试结果如表1所示.可以看出当 $l_1=0$ 时,文献[19]的 $\overline{TC}(0)=1$, $\overline{l_\xi}(0)=5$.同时该标记数量为9 823,则二维标记中,当 $l_2=1, 2, \dots, 8$ 时,平均数量 $n'(0)=1 227$,编码长度平均值

$\overline{l'_\xi}(0) \approx 8$,则有 $\Delta l'_\xi(0) \approx 3$.此时当 $\Delta TC(0, l_2) \geq 3$ 时,嵌入容量实现正增长.观察表中数据,二维标记 $(0, 1), (0, 2), (0, 3), (0, 4), (0, 5), (0, 6), (0, 7), (0, 8)$,各标记的总容量分别为2, 3, 4, 5, 6, 7, 8, 8位,相较于文献[19],前7个标记中,总容量增长量 ΔTC 为 l_2 位,但在标记 $(0, 8)$ 中,由于 $l_1 + l_2 \geq 8$,因此 ΔTC 仅为 $7 - l_1$ 位.且嵌入容量增长量 ΔEC 在 $\Delta TC \geq 3$ 时为正,与估计的当 $\Delta TC(0, l_2) \geq 3$ 时,嵌入容量实现正增长一致.本文算法在 $l_1=0$ 时的数量分布上,呈现以标记 $(0, 5)$ 为峰值,向上下两侧减少的趋势,由于上侧标记的总容量增长量较少,相应的嵌入容量产生负增长.但在下侧标记中,随着总容量增长量的提高,嵌入容量也实现正增长.最终本文相较于文献[19],在 $l_1=0$ 时实现嵌入容量的提高.其余标记同理,虽然在 $l_1=4$ 时虽然嵌入容量增长量为负,但Lena图像整体的嵌入容量依旧提高78 663位,即0.300 bpp.

4.2 嵌入容量

在管理者对图像进行管理时,嵌入容量越大说明嵌入的秘密信息越多,即能嵌入更多与图像有关的标签,从而实现便捷分类管理.为说明本文算法在嵌入容量上的性能,实验过程分为2个阶段:先以8幅测试图像为例,对比分析本文算法相较于文献[19]的提高.再分别以测试图像和2个图像库为例,与现有的4篇相关文献进行对比,分析本文算法在嵌入容量上的优势.

4.2.1 与文献[19]的对比

在本文算法和文献[19]嵌入容量对比中,从总容量TC,编码流长度 l'_ξ 以及额外数据流长度 l'_ϕ 以及图像嵌入率rate进行测试.同样地,为与文献[19]形成对比,本文的额外数据流需减去未标记位 B_0 .

以8幅测试图像为例,对比结果如表2所示.以Lena为例可以看出,在总容量上,根据式(2),本文算法

表1 文献[19]与本文算法的标记策略对比

| 文献[19] | | | | | 本文算法 | | | | | 增长量 | | |
|--------|--------|--------------------------|-----------------------------|---------|-------|--------|--------------------------|-----------------------------|---------|----------------------|-------------------------|----------------------|
| 标记 | 数量 | $\overline{TC}/\text{位}$ | $\overline{l}_\xi/\text{位}$ | EC/位 | 二维标记 | 数量 | $\overline{TC}/\text{位}$ | $\overline{l}_\xi/\text{位}$ | EC/位 | $\Delta TC/\text{位}$ | $\Delta l_\xi/\text{位}$ | $\Delta EC/\text{位}$ |
| -1 | 1 023 | — | — | — | — | 1 023 | 7 646 | 4 395 | 3 251 | 7 646 | 4 395 | 3 251 |
| 0 | 9 823 | 1 | 5 | 4 | (0,1) | 15 | 2 | 11 | -9 | 1 | 6 | -5 |
| | | | | | (0,2) | 306 | 3 | 10 | -7 | 2 | 5 | -3 |
| | | | | | (0,3) | 901 | 4 | 8 | -4 | 3 | 3 | 0 |
| | | | | | (0,4) | 1 501 | 5 | 8 | -3 | 4 | 3 | 1 |
| | | | | | (0,5) | 2 439 | 6 | 7 | -1 | 5 | 2 | 3 |
| | | | | | (0,6) | 2 280 | 7 | 7 | 0 | 6 | 2 | 4 |
| | | | | | (0,7) | 1 156 | 8 | 8 | 0 | 7 | 3 | 4 |
| | | | | | (0,8) | 1 225 | 8 | 8 | 0 | 7 | 3 | 4 |
| 1 | 9 778 | 2 | 5 | 3 | (1,1) | 223 | 3 | 11 | -8 | 1 | 6 | -5 |
| | | | | | (1,2) | 1 241 | 4 | 8 | -4 | 2 | 3 | -1 |
| | | | | | (1,3) | 2 510 | 5 | 7 | -2 | 3 | 2 | 1 |
| | | | | | (1,4) | 2 482 | 6 | 7 | -1 | 4 | 2 | 2 |
| | | | | | (1,5) | 1 585 | 7 | 8 | -1 | 5 | 3 | 2 |
| | | | | | (1,6) | 908 | 8 | 8 | 0 | 6 | 3 | 3 |
| | | | | | (1,7) | 829 | 8 | 9 | -1 | 6 | 4 | 2 |
| 2 | 15 343 | 3 | 4 | 1 | (2,1) | 1 812 | 4 | 7 | -3 | 1 | 3 | -2 |
| | | | | | (2,2) | 2 443 | 5 | 7 | -2 | 2 | 3 | -1 |
| | | | | | (2,3) | 3 651 | 6 | 6 | 0 | 3 | 2 | 1 |
| | | | | | (2,4) | 3 598 | 7 | 6 | 1 | 4 | 2 | 2 |
| | | | | | (2,5) | 1 920 | 8 | 7 | 1 | 5 | 3 | 2 |
| | | | | | (2,6) | 1 919 | 8 | 7 | 1 | 5 | 3 | 2 |
| 3 | 33 368 | 4 | 3 | 1 | (3,1) | 6 464 | 5 | 5 | 0 | 1 | 2 | -1 |
| | | | | | (3,2) | 9 742 | 6 | 5 | 1 | 2 | 2 | 0 |
| | | | | | (3,3) | 8 240 | 7 | 5 | 2 | 3 | 2 | 1 |
| | | | | | (3,4) | 4 515 | 8 | 6 | 2 | 4 | 3 | 1 |
| | | | | | (3,5) | 4 407 | 8 | 6 | 2 | 4 | 3 | 1 |
| 4 | 44 478 | 5 | 2 | 3 | (4,1) | 16 507 | 6 | 4 | 2 | 1 | 2 | -1 |
| | | | | | (4,2) | 13 601 | 7 | 4 | 3 | 2 | 2 | 0 |
| | | | | | (4,3) | 7 186 | 8 | 5 | 3 | 3 | 3 | 0 |
| | | | | | (4,4) | 7 184 | 8 | 5 | 3 | 3 | 3 | 0 |
| 5 | 53 281 | 6 | 2 | 4 | (5,1) | 25 723 | 7 | 3 | 4 | 1 | 1 | 0 |
| | | | | | (5,2) | 13 664 | 8 | 4 | 4 | 2 | 2 | 0 |
| | | | | | (5,3) | 13 894 | 8 | 4 | 4 | 2 | 2 | 0 |
| 6 | 41 487 | 7 | 3 | 4 | (6,1) | 20 832 | 8 | 4 | 4 | 1 | 1 | 0 |
| | | | | | (6,2) | 20 655 | 8 | 4 | 4 | 1 | 1 | 0 |
| 7 | 23 939 | 8 | 4 | 4 | (7,1) | 23 939 | 8 | 4 | 4 | 0 | 0 | 0 |
| 8 | 29 624 | 8 | 4 | 4 | (8,0) | 29 624 | 8 | 3 | 5 | 0 | -1 | 1 |
| Total | — | 1 469 869 | 793 712 | 676 157 | — | — | 1 914 640 | 1 159 820 | 754 820 | 444 771 | 366 108 | 78 663 |

的每个标记与文献[19]相比多腾出 ΔTC 位,结合首行首列像素容量的提高量,整幅图像提高44万位.但标记类别更多导致编码长度及额外数据流长度也有提高,编码长度提高量约为36万位,额外数据流仅提高

292位.由于总容量的提高量高于编码长度与额外数据流,最终的嵌入率依旧提高0.299 bpp.统计8幅图像嵌入率提高量的平均值,本文算法相较于文献[19]能提高0.267 bpp.

表 2 文献[19]与本文算法在嵌入容量上的对比

| 测试图像 | 算法 | TC/位 | I_c /位 | I_ϕ /位 | rate/ bpp |
|----------|--------|-----------|-----------|-------------|--------------|
| Lena | 文献[19] | 1 469 869 | 793 712 | 52 | 2.579 |
| | 本文 | 1 914 640 | 1 159 820 | 344 | 2.878 |
| | 提高 | 444 771 | 366 108 | 292 | 0.299 |
| Jetplane | 文献[19] | 1 587 492 | 792 365 | 52 | 3.033 |
| | 本文 | 1 964 178 | 1 094 646 | 344 | 3.316 |
| | 提高 | 376 686 | 302 281 | 292 | 0.283 |
| Barbara | 文献[19] | 1 313 541 | 839 954 | 52 | 1.806 |
| | 本文 | 1 790 104 | 1 246 849 | 332 | 2.071 |
| | 提高 | 476 563 | 406 895 | 280 | 0.265 |
| Peppers | 文献[19] | 1 386 368 | 783 602 | 52 | 2.299 |
| | 本文 | 1 865 253 | 1 188 976 | 344 | 2.578 |
| | 提高 | 478 885 | 405 374 | 292 | 0.279 |
| Boat | 文献[19] | 1 470 649 | 794 800 | 52 | 2.578 |
| | 本文 | 1 908 999 | 1 162 174 | 344 | 2.848 |
| | 提高 | 438 350 | 367 374 | 292 | 0.270 |
| Lake | 文献[19] | 1 302 121 | 785 928 | 52 | 1.969 |
| | 本文 | 1 791 291 | 1 210 354 | 344 | 2.215 |
| | 提高 | 489 170 | 424 426 | 292 | 0.246 |
| Crowd | 文献[19] | 1 560 448 | 789 080 | 52 | 2.942 |
| | 本文 | 1 927 452 | 1 093 600 | 344 | 3.180 |
| | 提高 | 367 004 | 304 520 | 292 | 0.238 |
| Baboon | 文献[19] | 1 074 525 | 794 539 | 52 | 1.068 |
| | 本文 | 1 616 592 | 1 269 867 | 332 | 1.321 |
| | 提高 | 542 067 | 475 328 | 280 | 0.253 |

4.2.2 与现有文献对比

在与现有文献的对比实验中,为公平性,设置参数如下:文献[14]设定块大小为3, $\alpha=5, \beta=2$;文献[15]则设定 $\alpha=5, \beta=3$. 分别以8幅测试图像和3个数据库为例进行测试,测试结果如下.

以8幅测试图像为例进行测试的结果如表3所示,可以看出,文献[14]的容量相对较小,因为该算法在冗余较小加密图像中腾出空间.文献[15, 17, 19]及本文算法则在原始图像中预留空间,因此容量相对较高.本文算法在8幅测试图像中优于现有文献,对于适合 MSBs 编码的 Jetplane 图像,文献[19]的容量达到 3.033 bpp,本文算法比其提高 0.283 bpp;但对于适合预测误差编码的 Peppers 图像,现有文献中[15]的容量最高,为 2.543 bpp. 本文算法与之比较依旧提高了 0.035 bpp.

为避免偶然性,分别以3个图像库为例进行测试,结果如表4所示.可以看出,在3个图像库中本文算法的平均嵌入容量均高于现有文献.以 UCID 图像库为例,本文相较于文献[14, 15, 17, 19],分别提高 1.640 bpp, 0.842 bpp, 0.628 bpp, 0.248 bpp. 在 BOSSBase 和 BOWS2

中,本文算法相较于平均嵌入率最高的文献,提高了 0.297 bpp 和 0.208 bpp.

表 3 最大嵌入率对比

| 测试图像 | 文献[14] | 文献[15] | 文献[17] | 文献[19] | 本文算法 |
|----------|--------|--------|--------|--------|-------|
| Lena | 2.014 | 2.643 | 2.590 | 2.579 | 2.878 |
| Jetplane | 2.191 | 2.685 | 2.922 | 3.033 | 3.316 |
| Barbara | 1.261 | 1.918 | 2.008 | 1.806 | 2.071 |
| Peppers | 2.042 | 2.543 | 2.507 | 2.299 | 2.578 |
| Boat | 1.726 | 2.550 | 2.550 | 2.578 | 2.848 |
| Lake | 1.524 | 2.090 | 2.188 | 1.969 | 2.215 |
| Crowd | 1.731 | 2.518 | 2.547 | 2.942 | 3.180 |
| Baboon | 0.723 | 0.968 | 1.219 | 1.068 | 1.321 |

表 4 图像库最大嵌入率对比

| 测试图像 | 文献[14] | 文献[15] | 文献[17] | 文献[19] | 本文算法 |
|----------|--------|--------|--------|--------|-------|
| UCID | 1.680 | 2.478 | 2.692 | 3.072 | 3.320 |
| BOSSBase | 1.954 | 2.567 | 3.205 | 3.361 | 3.658 |
| BOWS2 | 1.878 | 2.528 | 3.309 | 3.246 | 3.517 |

综上所述,本文算法在嵌入容量上优于现有文献,通过对文献[19]未标记位中冗余的利用,提高了嵌入容量,且在平均嵌入率方面,相较于现有算法能够提高 0.208 bpp 以上.

4.3 安全性分析

文献[19]中生成加密图像的步骤:(1)计算预测像素值,与原始像素进行比较生成标记;(2)对原始图像进行异或加密;(3)对标记图进行加密生成编码流;(4)将所有的辅助数据嵌入参考像素中,若参考像素无法完全嵌入,则根据标记图与被替代的原始参考像素一起嵌入到非参考像素中.在该算法中存在两个隐患:一是为使管理者确定嵌入位置,标记图无法通过加密密钥加密,即标记图可直接从加密图像中提取恢复;二是加密图像由原始图像异或加密生成,虽然嵌入标记图等辅助数据时对其中一部分像素进行修改,但部分像素依旧保持不变,无法抵抗唯密文攻击.下面从这两方面隐患对文献[19]及本文算法进行分析.

4.3.1 标记图信息泄露

在文献[19]和本文算法中,标记图实质是预测像素值与原始像素值 MSBs 的差异,对同一幅图像,本文算法中的 I_1 与文献[19]中的 label 是相同的.实验过程中分别以 Lena, Jetplane, Baboon 为例,生成的标记图如图5所示.可以看出,标记与图像的纹理程度有关,图像在纹理区域,预测像素与原始像素相同的 MSBs 位数较少;反之,在平滑区域,预测像素与原始像素相同的 MSBs 位数较多.所以从标记图中反映出原始图像的纹理信息.

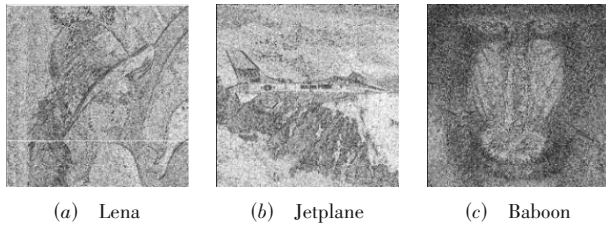


图5 标记图

分析文献[19]与本文算法通过加密图像恢复标记图的可能性. 在文献[19]生成的加密图像中, 辅助数据未进行加密, 标记图能通过辅助数据中的编码规则和编码流进行无损恢复, 导致图像信息泄露. 本文算法则采用有效信息合并的方法, 将额外数据流与编码流合并为原始流后进行异或和置乱加密生成加密流. 若要恢复原始的额外数据流与编码流, 则需要从 $2^{l_c+l_e} \times (l_c+l_e)!$ 种情况中找到唯一正确的密钥. 此时, 若无正确的加密密钥, 很难通过加密流恢复为原始流, 即无法通过加密流恢复标记图. 为说明加密密钥错误时本文算法无法正确恢复标记图, 由加密流恢复的比特流与原始流的差异, 定义恢复比特流相较于原始流的正确率公式如下:

$$R_a = \frac{\sum_{i=1}^{\text{len}} s(i) = s'(i)}{\text{len}} \times 100\% \quad (25)$$

其中, $s(i)$ 与 $s'(i)$ 分别表示原始流与错误密钥下恢复比特流的第 i 位; len 为原始流长度.

以 Lena 图像为例, 测试 100 种错误密钥下由加密流恢复比特流的正确率, 结果如图 6 所示. 可以看出, 在加密密钥错误的情况下, 正确率 R_a 的均值为 50.02%, 即恢复正确率仅有一半, 无法从恢复的比特流中得出标记图信息. 因此, 仅在密钥正确的情况下才能可逆恢复原始流信息, 进而恢复正确的标记图.

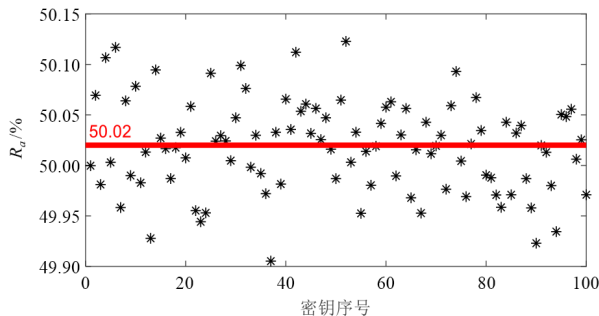


图6 错误密钥下正确率

综上, 文献[19]中标记图未进行加密, 导致原始图像中的纹理信息被泄露. 本文则通过对原始流进行加密保证了标记图的安全性, 且加密流仅在加密密钥正确的情况下才能正确恢复至原始流, 有效地避免了标

记图信息泄露.

4.3.2 唯密文攻击

Khelifi 提出的有关异或加密的唯密文攻击中, 利用自然图像中存在的冗余来估计异或加密矩阵. 在算法中, 先将异或加密矩阵各位面的第一个比特设定为“1”. 随后估计第一行的比特, 再由第一行的比特估计出其余比特. 当所有比特估计后进一步改善, 设定第一个像素为 0~255, 在 256 种情况中选取最佳的结果. 下面以该攻击算法为依据对比分析文献[19]及本文算法抵抗唯密文攻击的性能.

文献[19]中仅采用异或加密方法, 虽然加密图像中前面的像素在嵌入辅助数据时发生修改, 但后面的像素未发生变化, 即相较于原始像素值仅进行了异或加密, 因此依旧可以利用 Khelifi 提出的根据自然图像中的冗余进行攻击, 存在安全隐患. 在设计攻击实验时, 考虑到文献[19]在图像的后部分异或加密后未发生变化, 对唯密文攻击算法进行一些调整: 各位面从最后一个比特开始, 从下向上估计异或加密矩阵. 最后采用该矩阵解密其余加密图像得到破解图像. 在实验过程中, 分别通过文献[19]及本文算法在相同的加密密钥下对 Lena, Jetplane, Baboon 及 100 张 BOSSBase 中图像进行加密. 以 BOSSBase 中 100 张加密图像估计异或加密矩阵分别对 Lena, Jetplane, Baboon 解密得出破解图像, 结果如图 7 所示. 图 7(a)~(c) 为文献[19]的破解图像, 图 7(d)~(f) 为本文的破解图像. 从图 7(a)~(c) 这 3 幅破解图像可以看出, 文献[19]破解图像的下半部分图像内容被泄露, 且被泄露部分的大小与辅助数据有关. 当辅助数据较长时, 加密图像中更多的像素被修改, 从而在破解图像中仅能恢复较少的像素, 如 Baboon 图像. 反之, 当辅助数据较短时, 破解图像中将泄露大量的原始图像信息. 观察本文得到的图 7(d)~(f) 破解图像, 3 幅图像类似随机噪声, 即本文破解图像中均未泄露出原始图像的相关信息. 分析可知, 本文算法中加密前图像相当于将加密图像中的加密流替换为原始流, 即加密前图像包括原始流、预留空间与伪标记图信息, 由于三者相邻比特间并未存在相关性, 因此本文生成的加密图像无法通过文献[20]中的唯密文攻击破解.

为进一步说明本文算法能够有效抵抗上述唯密文攻击算法, 从冗余度方面进行分析. 水平冗余度 P_h 与垂直冗余度 P_v 的计算式如文献[20]中式(5)与式(7). 以 Lena, Jetplane, Baboon 为例, 按照各位面进行加密前图像冗余度测试, 结果如表 5 所示. 可以看出, 三幅图像的水平与垂直冗余度约为 0.5, 即本文算法中生成的加密图像无法通过唯密文攻击进行破解. 因为在本文算法中额外数据流与编码流经过异或与置乱加密, 生

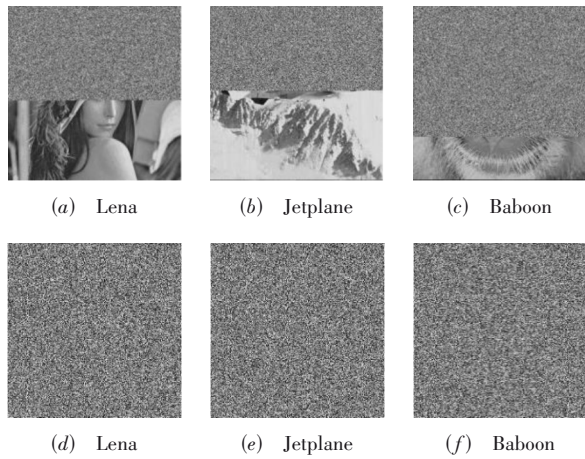


图7 破解图像

成的加密流近似伪随机分布,同时预留空间由伪随机序列填充,所以最终构造的加密图像相邻像素间的相关性较低.

表5 冗余度测试

| 位面 | Lena | | Jetplane | | Baboon | |
|----|-------|-------|----------|-------|--------|-------|
| | P_h | P_v | P_h | P_v | P_h | P_v |
| 1 | 0.499 | 0.500 | 0.497 | 0.500 | 0.502 | 0.504 |
| 2 | 0.502 | 0.494 | 0.502 | 0.504 | 0.502 | 0.506 |
| 3 | 0.503 | 0.503 | 0.503 | 0.511 | 0.500 | 0.520 |
| 4 | 0.502 | 0.489 | 0.503 | 0.501 | 0.502 | 0.497 |
| 5 | 0.500 | 0.482 | 0.497 | 0.471 | 0.502 | 0.486 |
| 6 | 0.500 | 0.498 | 0.501 | 0.501 | 0.500 | 0.525 |
| 7 | 0.501 | 0.500 | 0.498 | 0.501 | 0.501 | 0.507 |
| 8 | 0.498 | 0.502 | 0.501 | 0.499 | 0.502 | 0.501 |

综上,本文算法采用有效信息合并的方法,将额外数据流及编码流合并为原始流,并进行异或与置乱加密,因此在无正确加密密钥时无法通过加密图像恢复标记图,同时加密前图像的冗余近似为0.5,能有效抵抗唯密文攻击.

4.4 可逆性分析

为分析文献[19]与本文算法的可逆性,分别从含嵌图像在有噪声情况下进行图像恢复.在含嵌图像加入噪声下,为获得恢复图像,当编码流长度不足时,将编码流进行复制,提高编码流长度.

以 Lena 图像为例,分别测试文献[19]与本文算法中含嵌图像在无噪声、噪声密度为0.05的椒盐噪声以及均值为0方差为0.01的高斯噪声的影响下恢复图像的效果,结果如图8所示.图中第一行为文献[19]的恢复图像,第二行为本文算法的恢复结果.可以看出,在无噪声的情况下,文献[19]与本文算法的恢复图像与原始图像完全一致,满足可逆性.但在加入噪声后,文献[19]与本文算法获得的恢复图像均为类似噪声的图

像.分析原因可知,当含嵌图像中加入噪声后,会对编码表及编码流产生影响,从而无法恢复正确的标记图.同时原始像素中的未标记位也会发生错误,结合MED预测方法的错误传递性,当一个像素值恢复发生错误时,将会对该像素右下方像素的恢复产生影响,最终导致恢复图像产生错误.综上可知,在含嵌图像中未包含噪声时,算法可实现完全可逆,恢复图像与原始图像完全一致.但在加入噪声后,由于哈夫曼编码的特殊性,若编码流中出现错误将会导致解码错误的特性,在加入噪声后恢复图像与原始图像截然不同.设计鲁棒的编码方法是需要进一步研究的方向.

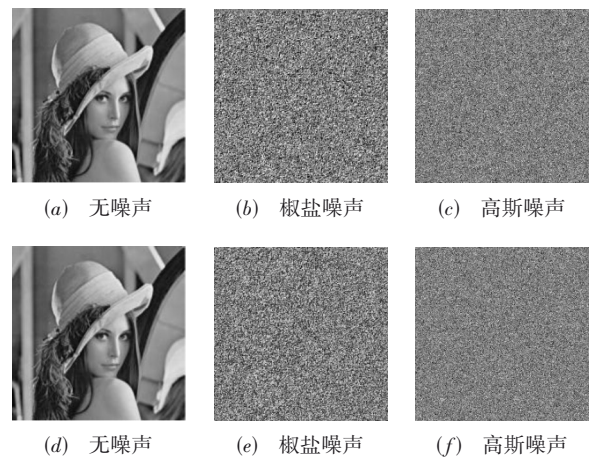


图8 恢复图像

4.5 时间复杂度分析

文献[19]与本文算法可以分为4个阶段:加密图像的生成、数据嵌入、数据提取、图像恢复.由于数据提取与图像恢复分别是加密图像的生成和数据嵌入的逆过程,所以主要对比分析文献[19]与本文算法中加密图像的生成和数据嵌入2个阶段的时间复杂度,以及4个阶段的运行时间来说明本文算法的性能.

在加密图像的生成阶段,本文算法相较于文献[19]多了范式哈夫曼编码表构造的步骤,但少了标记图嵌入的步骤.范式哈夫曼编码表构造的时间复杂度为 $O(37 \times \log_2 37)$.标记图嵌入依次在像素中嵌入辅助数据,因此时间复杂度为 $O(W \times H)$.其余构造标记图与标记图编码步骤等步骤均与图像大小相关,因此时间复杂度也为 $O(W \times H)$.在数据嵌入阶段,文献[19]需要先恢复标记图,再根据标记图依次在加密图像的像素中进行信息嵌入,因此时间复杂度为 $O(W \times H)$.本文算法则直接采用位替换进行嵌入,时间复杂度为 $O(1)$.

为进一步体现本文算法在时间复杂度上的优越性,对比测试了文献[19]与本文算法在4个阶段的运行时间,实验过程中测试10次 512×512 的Lena图像求取

平均值. 实验环境为 Windows10 操作系统, MATLAB R2018b, AMDR7 4800U 的 CPU, 16 GB 内存(15.4 GB 可用), 64 位操作系统. 实验结果如表 6 所示. 可以看出, 本文算法在加密图像的生成与数据嵌入阶段的运行时间均低于文献[19], 且整体算法的运行时间相较于文献[19]减少 3.652 s.

表 6 运行时间 单位:s

| 阶段 | 文献[19] | 本文算法 | 降低 |
|---------|--------|-------|-------|
| 加密图像的生成 | 1.278 | 0.790 | 0.488 |
| 数据嵌入 | 1.375 | 0.051 | 1.324 |
| 数据提取 | 1.319 | 0.032 | 1.287 |
| 图像恢复 | 0.995 | 0.442 | 0.553 |
| 总时间 | 4.967 | 1.315 | 3.652 |

5 结论

本文提出一种基于 MSB 二维标记的加密图像可逆数据隐藏算法. 定义的二维标记中包含的首“0”串长度与次“1”串长度保存原始与预测像素值初始连续相同 MSBs 位数与 SCO-MSBs 位数, 能够有效地增加图像冗余的利用, 结合范式哈夫曼编码实现嵌入容量的提升及图像的可逆恢复, 以 BOWS2 图像库为例, 平均嵌入率相较于现有算法提高 0.208 bpp 以上. 有效信息合并使恢复原始图像的有效信息与预留空间分离, 结合构造的伪标记图, 在不影响数据嵌入的情况下, 一方面, 原始流加密能够防止二维标记图被未授权者获得, 且有效抵抗唯密文攻击, 避免图像内容泄露; 另一方面, 额外数据流与编码流直接合并, 使得预留空间为连续的空间, 可通过伪标记图快速地确定嵌入位置, 减少了额外数据流及秘密数据的嵌入时间. 在加密图像的生成与数据嵌入阶段的运行时间上仅有 0.790 s 和 0.051 s, 且总体运行时间为文献[19]的 26.5%. 后续工作将围绕更高效、鲁棒的编码方法设计以及更安全的加密算法研究等方面展开.

参考文献

- [1] SHI Y Q, LI X L, ZHANG X P, et al. Reversible data hiding: Advances in the past two decades[J]. IEEE Access, 2016, 4: 3210-3237.
- [2] QIAN Z X, ZHOU H, ZHANG X P, et al. Separable reversible data hiding in encrypted JPEG bitstreams[J]. IEEE Transactions on Dependable and Secure Computing, 2018, 15(6): 1055-1067.
- [3] LI M, XIAO D, KULSOOM A, et al. Improved reversible data hiding for encrypted images using full embedding strategy[J]. Electronics Letters, 2015, 51(9): 690-691.
- [4] BOUSLIMI D, COATRIEUX G, COZIC M, et al. A joint encryption/watermarking system for verifying the reliability of medical images[J]. IEEE Transactions on Information Technology in Biomedicine, 2012, 16(5): 891-899.
- [5] 王继军, 孙泽锐, 李国祥. 图像抛物线插值空间大容量可逆信息隐藏算法[J]. 电子学报, 2019, 47(1): 137-144. WANG J J, SUN Z R, LI G X. High capacity reversible data hiding algorithm based on parabolic interpolation space[J]. Acta Electronica Sinica, 2019, 47(1): 137-144. (in Chinese)
- [6] 王继军, 李国祥, 夏国恩, 等. 图像插值空间完全可逆可分离密文域信息隐藏算法[J]. 电子学报, 2020, 48(1): 92-100. WANG J J, LI G X, XIA G E, et al. A separable and reversible data hiding algorithm in encrypted domain based on image interpolation space[J]. Acta Electronica Sinica, 2020, 48(1): 92-100. (in Chinese)
- [7] MA K D, ZHANG W M, ZHAO X F, et al. Reversible data hiding in encrypted images by reserving room before encryption[J]. IEEE Transactions on Information Forensics and Security, 2013, 8(3): 553-562.
- [8] JIA Y J, YIN Z X, ZHANG X P, et al. Reversible data hiding based on reducing invalid shifting of pixels in histogram shifting[J]. Signal Processing, 2019, 163: 238-246.
- [9] WANG W Q, YE J Y, WANG T Q, et al. Reversible data hiding scheme based on significant-bit-difference expansion[J]. IET Image Processing, 2017, 11(11): 1002-1014.
- [10] KE Y, ZHANG M Q, LIU J, et al. Fully homomorphic encryption encapsulated difference expansion for reversible data hiding in encrypted domain[J]. IEEE Transactions on Circuits and Systems for Video Technology, 2020, 30(8): 2353-2365.
- [11] KHELIFI F, BRAHIMI T, HAN J G, et al. Secure and privacy-preserving data sharing in the cloud based on lossless image coding[J]. Signal Processing, 2018, 148: 91-101.
- [12] LI F Y, ZHANG L M, WEI W M. Reversible data hiding in encrypted binary image with shared pixel prediction and halving compression[J]. EURASIP Journal on Image and Video Processing, 2020, 2020(1): 1-21.
- [13] YI S, ZHOU Y C. Parametric reversible data hiding in encrypted images using adaptive bit-level data embedding and checkerboard based prediction[J]. Signal Processing, 2018, 150: 171-182.
- [14] YI S, ZHOU Y C. Separable and reversible data hiding in encrypted images using parametric binary tree labeling[J]. IEEE Transactions on Multimedia, 2019, 21(1):

- 51-64.
- [15] WU Y Q, XIANG Y Z, GUO Y T, et al. An improved reversible data hiding in encrypted images using parametric binary tree labeling[J]. IEEE Transactions on Multimedia, 2020, 22(8): 1929-1938.
- [16] YI S, ZHOU Y C. Binary-block embedding for reversible data hiding in encrypted images[J]. Signal Processing, 2017, 133: 40-51.
- [17] CHEN F, YUAN Y, HE H J, et al. Multi-MSB compression based reversible data hiding scheme in encrypted images[J]. IEEE Transactions on Circuits and Systems for Video Technology, 2021, 31(3): 905-916.
- [18] FU Y J, KONG P, YAO H, et al. Effective reversible data hiding in encrypted image with adaptive encoding strategy [J]. Information Sciences, 2019, 494: 21-36.
- [19] YIN Z X, XIANG Y Z, ZHANG X P. Reversible data hiding in encrypted images based on multi-MSB prediction and huffman coding[J]. IEEE Transactions on Multimedia, 2020, 22(4): 874-884.
- [20] KHELIFI F. On the security of a stream cipher in reversible data hiding schemes operating in the encrypted domain[J]. Signal Processing, 2018, 143: 336-345.
- [21] GUAN B, XU D W. An efficient high-capacity reversible data hiding scheme for encrypted images[J]. Journal of Visual Communication and Image Representation, 2020, 66: 102744.
- [22] COLTUC D. Improved embedding for prediction-based reversible watermarking[J]. IEEE Transactions on Information Forensics and Security, 2011, 6(3): 873-882.
- [23] 卡茨安. 标准数据加密算法[M]. 陈太一, 屠世楨, 译. 北京: 人民邮电出版社, 1983.
- [24] 郎荣玲, 夏煜, 戴冠中. 高级加密标准(AES)算法的研究 [J]. 小型微型计算机系统, 2003, 24(5): 905-908.
LANG R L, XIA Y, DAI G Z. Research on the algorithm of advanced encryption standard (AES)[J]. Mini-Micro Systems, 2003, 24(5): 905-908. (in Chinese)
- [25] ALAWIDA M, SAMSUDIN A, TEH J S, et al. A new hybrid digital chaotic system with applications in image encryption[J]. Signal Processing, 2019, 160: 45-58.
- [26] ZHANG L N, WEI D Y. Image watermarking based on matrix decomposition and gyrator transform in invariant integer wavelet domain[J]. Signal Processing, 2020, 169: 107421.
- [27] LI Y M, WEI D Y, ZHANG L N. Double-encrypted watermarking algorithm based on cosine transform and fractional Fourier transform in invariant wavelet domain[J]. Information Sciences, 2021, 551: 205-227.
- [28] SCHAEFER G, STICH M. UCID: An uncompressed color image database[C]//Storage and Retrieval Methods and Applications for Multimedia. San Jose: SPIE, 2004, 5307: 472-480.
- [29] BAS P, FILLER T, PEVNÝ T. "Break Our Steganographic System": The ins and outs of organizing BOSS[C]//International Workshop on Information Hiding. Berlin: Springer, 2011: 59-70.
- [30] BAS P, FURON T. Image database of BOWS-2[EB/OL]. (2017)[2021]. <http://bows2.ec-lille.fr>.

作者简介



杨尧林 男, 1996年出生, 河南许昌人. 现为西南交通大学信息科学与技术学院博士生. 主要研究方向为图像处理和加密域可逆信息隐藏.
E-mail: ylyangwr@foxmail.com



和红杰(通讯作者) 女, 1971年出生, 四川成都人. 现为西南交通大学信息科学与技术学院教授. 主要研究方向为信息隐藏、图像处理和深度学习.
E-mail: hjhe@swjtu.edu.cn